تأثير معدات الحراثة الثانوية في خواص التربة

زياد عبود

قسم الهندسة الريفية، كلية الزراعة الثانية، إدلب، جامعة حلب

الملخص

في البحث الحالي استخدمت ثلاث معدات حراثة ثانوية وهي الأمشاط القرصية (DH) والأمشاط ذات الأسنان الصلبة (RTH) والأمشاط ذات الأسنان المرنة متبوعة بأسطوانة تسوية (STH+LC) بهدف دراسة تأثيرها في بعض خواص التربة متبوعة بأسطوانة تسوية (PT) بهدف دراسة تأثيرها في بعض خواص التربة (مقاومة اختراق التربة PR) الكثافة الظاهرية P0 والمسامية الكلية للتربة P1 والتوزع SDC ومتوسط القطر الموزون MWD وثباتية حبيبات التربة (RTH) الخفض P1 و 3.40 و 4.08 و 4.08 عند استخدام (RTH) و (STH+LC) و (STH+LC) و (STH+LC) و (STH+LC) و (STH) على التوالي وازدادت P1 و (STH+LC) و (BT) على التوالي. ازدادت قيمة (MWD) من mm (MWD) و (STH+LC) و (BT) و (STH+LC). ازدادت نسبة حبيبات التربة (STC) التي أقطارها بين ملحوظ باستخدام (STH+LC). ازدادت نسبة حبيبات التربة (STC) التي أقطارها بين mm P1 بنسبة (STH+LC) و (STC) و (BT) على التوالي.

الكلمات المفتاحية: معدات الحراثة الثانوية، متوسط القطر الموزون، المسامية

ورد البحث للمجلة بتاريخ ا 22 / 2014/10 قبل للنشر بتاريخ ا 7 / 6 /2015

Effect of Secondary Tillage Implements on Soil Properties

Ziyad Aboud

Dept. of Rural Engineering, 2nd Faculty of Agriculture, Idleb, University of Aleppo

Abstract

The current research aims to study the effect of three secondary tillage implements, which are disc harrow (DH), rigid teeth harrows (RTH) and spring teeth harrows + level cylinder (STH+LC) on some soil properties which are penetration resistance (PR), bulk density (BD), total porosity (TP), size distribution of clods (SDC), mean weight diameter (MWD) and aggregate stability (AS). BD decreased by 2.44 %, 4.08 % and 4.63 % using (RTH), (STH+LC) and (DH) respectively and TP increased by 22.2 %, 25.5 % and 40.0 % using (RTH), (STH+LC) and (DH) respectively. (MWD) increased from 2.73 mm to 3.97 mm using (DH) and decreased to 1.78 mm using (RTH); there was no significant difference in case of (STH+LC). Aggregate stability of diameters 1 – 5 mm increased by 44 %, 29 % and 26 % using (STH+LC), (RTH) and (DH) respectively.

Key words: secondary tillage implements, mean weight diameter, porosity.

Received 22 /10 /2014 Accepted 7 /6 /2015

مقدمة:

تستخدم معدات الحراثة الثانوية لتنعيم التربة أو كبسها بدرجة مناسبة تحقق تماسك حبيبات التربة ليكون هناك توازن بين كمية الماء والهواء بالنسبة للبذور التي ستوضع في التربة وبالإضافة إلى ذلك فإن معدات الحراثة الثانوية تستخدم في تسوية سطح التربة أو خلخلتها [3,2,1] وتنفذ الحراثة االثانوية عادةً باستخدام واحدة أو أكثر

من معدات الحراثة الثانوية التالية: (الأمشاط القرصية والأمشاط ذات الأسنان بنوعيها الصلبة والأسنان المرنة والمراديس والمهارس).

إن المحافظة على بناء التربة يعتبر أحد الركائز الهامة في تحسين خصائص التربة نظراً لتأثيره في العديد من العمليات البيولوجية والفيزيائية. يحسن البناء الجيد للتربة حركة الماء داخلها ويؤمن الظروف البيئية المناسبة لنمو الجذور ويقلل من قابليتها للتعرية. لذا فإن فهم عملية تشكل حبيبات التربة وتفتتها يساعد في اتخاذ الإجراءات المناسبة للمحافظة على بناء التربة الجيد [4].

يؤثر ضعف ثباتية حبيبات التربة في الطبقة السطحية منها تأثيراً كبيراً في ظاهرة التعرية، كما يؤدي تساقط المطر على الطبقة السطحية للتربة إلى تحطيم حبيبات التربة، وهذا بدوره يؤثر في معدل الرشع ويعيق مرور الماء داخل التربة ويفككها ويؤدي إلى تعريتها. تعتبر ثباتية حبيبات التربة من أهم عوامل مقاومة التربة للتعرية. لذا فإن الخواص الفيزيائية والكيميائية والميكروبيولوجية التي تؤثر بشكل غير مباشر في ثباتية حبيبات التربة لها تأثير أيضاً على التعرية [6]. من أهم العوامل التي تؤثر على حبيبات التربة وثباتيتها نوع أداة الحراثة.

تلعب الحراثة دوراً كبيراً في القضاء على الأعشاب الضارة وإدارة بقايا المحصول السابق، لكن الهدف الرئيسي للحراثة هو تغيير تركيب التربة [7] لتأمين الظروف المناسبة لإنتاش البذور ونمو الشتول والمحاصيل إضافةً إلى المحافظة على مقاومة حبيبات التربة ضد عوامل التعرية [9,8].

يستخدم في شمال سورية وعلى نطاق واسع معدات الحراثة الثانوية بعد الحراثة الثانوية بعد الحراثة الأولية التي قد تترك بعض الكتل الترابية على السطح، كما وقد تتسبب في تشكل قشرة على سطح التربة مما يعرضها للتعرية عند تكسر الطبقة السطحية، وهذا ما قد يؤثر سلباً على إنتاش البذور ونمو الشتول.

الهدف من البحث:

نُفِذ هذا البحث لدراسة مدى تأثير معدات الحراثة الثانوية التي يستخدمها المزارعون في المنطقة الشمالية من سوريا على بعض الخواص التربة الفيزيائية

وبالتحديد مقاومة اختراق التربة والكثافة الظاهرية والمسامية الكلية للتربة والتوزع الحجمي للكتل الترابية ومتوسط القطر الموزون وثباتية حبيبات التربة.

المواد وطرائق البحث:

وصف موقع الدراسة

أجريت الدراسة على أرض زراعية في مزرعة كتيان التابعة لكلية الزراعة الثانية بإدلب التي تبعد عن الكلية حوالي 20 km وذلك خلال الموسم الزراعي الثانية بإدلب التي تبعد عن الكلية حوالي 20 km وذلك خلال الموسم الزراعي 2011–2012. يوضح الجدول (1) الخواص الأساسية للتربة التي أجري عليها البحث ويوضح الجدول (2) تركيب التربة.

صممت التجربة باستخدام طريقة القطاعات العشوائية الكاملة (R C B D) قسم التجربة باستخدام برنامج الـ Genstat. قُسِم الحقل الذي أجريت وتم إجراء التحليل الإحصائي باستخدام برنامج الـ عشرة أمتار، أجري في كل فيه الدراسـة إلى ثلاث قطع تجريبية متجاورة تقصـل بينها عشرة أمتار، أجري في كل قطعة تجريبية 3 مكررات مسـاحة الأرض المحروثة في كل مكرر (20×5) ويوضح الشكل (1) مخطط القطع التجريبية ومكرراتها ويظهر حركة التفاف الجرار مع أداة الحراثة المستخدمة بين المكررات.

الجدول (1) يوضح الخواص الأساسية للتربة التي أجري عليها البحث

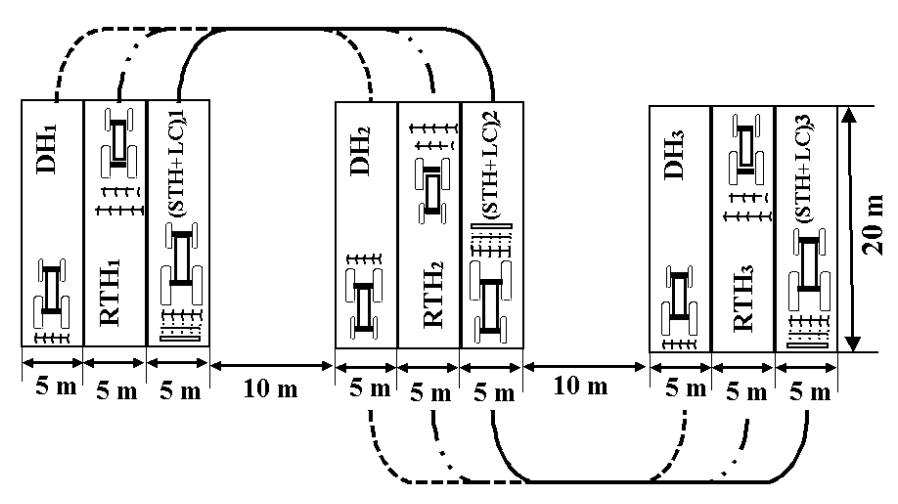
1.82 g.cm-3	الكثافة الظاهرية
22.50 %	محتوى الرطوبة الوزني
27.00 %	المسامية
7.60	PH
1.27 %	محتوى المادة العضوية

حرثت القطع التجريبية الثلاث بالمحراث الحفار بعد موســم حصــاد القمح وأزيلت بقايا القش في صــيف 2011، حرثت في الخريف بالمحراث المطرحي القلاب وفي بداية ربيع 2012 بالمحراث الحفار تلاها اسـتخدام معدات الحراثة الثانوية الثلاث لتنعيم وتسوية التربة الجدول (3).

الجدول (2) يوضح تركيب التربة الني أجري عليها البحث

	ئي (%) وزناً			
قوام التربة حسب مثلث القوام	الطين (%)	السلت (%)	الرمل (%)	(cmالعمق)

,	العدد 115 العام 2015	طوم الزراعية	سلسلة الع	جلة بحوث جامعة حلب			
		38.00	25.00	37.00	0 - 10		
	sits tsett	37.80	25.30	36.90	10 - 20	İ	
	التربة لومية طينية	37.70	25.00	37.30	20 - 30	İ	
		37.83	25.10	37.07	0 -30	İ	



الشكل (1) يوضح مخطط القطع التجريبية ومكرراتها لدى استخدام معدات الحراثة الثلاث الجدول (3) يوضح مكونات معدات الحراثة الثانوية المستخدمة في البحث

الرمز	عرض العمل الفعال (cm)	المكونات	معدات الحراثة الثانوية
(DH)	180	أمشاط قرصية منحرفة تحوي على 14 قرصاً قطر كل قرص 40 cm.	الأمشاط القرصية Disc harrow
(RTH)	90	صفين من الأمشاط ذات الأسنان الصلبة تحوي 4 أسلحة في الصف الأمامي وخمسة في الصف الخلفي	الأمشاط ذات الأسنان الصلبة Rigid teeth harrows
(STH+LC)	120	ثلاثة صفوف من الأمشاط ذات الأسنان المرنة تحوي في الصفين الأماميين على خمسة أسلحة وفي الصف الخلفي على سنة أسلحة وربط خلف الصف الأخير أسطوانة تسوية	الأمشاط ذات الأسنان المرنة متبوعة بأسطوانة تسوية + Spring teeth harrows level cylinder

استخدم في البحث جرار زراعي فرات 70 ذو المواصفات الفنية المبينة في الجدول (4). واستخدمت سرعة واحدة لكل المعدات وهي 4.5 km.h⁻¹.

الجدول (4) المواصفات الفنية للجرار المستخدم في البحث لجر معدات الحراثة الثانوية

جرار الفرات 70	المواصفات التقنية
2.02 m	المسافة بين محوري العجلات الأمامية والخلفية
3.32 m	الطول الكلي للجرار
2.16 m	عرض الجرار

استخدم في البحث معدات الحراثة الثانوية التالية:

- 1- الأمشاط القرصية Disc harrow (DH)
- 2- الأمشاط ذات الأسنان الصلبة (RTH) Rigid teeth harrows
 - 3- الأمشاط ذات الأسنان المرنة متبوعة بأسطوانة تسوية

Spring teeth harrows + level cylinder (STH+LC)

استخدمت معدات الحراثة الثانوية آنفة الذكر (المستخدمة من قبل المزارعون

في المنطقة الشمالية من سوريا) على بعض خواص التربة الفيزيائية التالية:

- Penetration resistance (PR) مقاومة اختراق التربة
 - Bulk density (D_B) الكثافة الظاهرية −2
 - Total porosity (P_T) المسامية الكلية للتربة −3
- 4- التوزع الحجمي للكتل الترابية (Size distribution of clods (SDC)
 - Mean weight diameter (MWD) متوسط القطر الموزون -5
 - Aggregate stability (AS) -6 ثباتية حبيبات التربة

استخدم في البحث معدات الحراثة الثانوية التالية:

- Disc harrow (DH) الأمشاط القرصية -4
- 7- الأمشاط ذات الأسنان الصلبة (RTH) الأمشاط ذات
 - 6- الأمشاط ذات الأسنان المرنة متبوعة بأسطوانة تسوية

Spring teeth harrows + level cylinder (STH+LC)

القياسات الحقلية

1-مقاومة اختراق التربة (PR) Soil Penetration Resistance

تم قياس مقاومة اختراق التربة حقلياً بجهاز قياس مقاومة اختراق التربة مكرر [10] Hand Penetrometer Eijkelkamp في ثلاث أماكن مختلفة ضمن كل مكرر على العمق 0-15 cm على العمق العمق التعمق كل على العمق التعمق كل 0-15 cm

Bulk Density (DB) الكثافة الظاهرية -2

حُددت الكثافة الظاهرية باستخدام أسطوانات معدنية من الحقل بأخذ عينات على العمق 0 - 10 cm وهو العمق الذي تعمل عليه أغلب معدات الحراثة الثانوية. تم أخذ ثلاث عينات من كل مكرر تجريبي، تم حساب الكثافة الظاهرية باستخدام الطريقة التقليدية المعروفة [11] باستخدام المعادلة التالية:

$$D_{\rm B} = \frac{m_{\rm ds}}{V_{\rm c}}$$

حيث إن:

 $(g.cm^{-3})$ الكثافة الظاهرية D_B

(g) وزن التربة بعد تجفيفها في الفرن mds

 (cm^3) حجم عينة التربة المستخدمة $V_{\rm s}$

Real Density (DB) الكثافة الحقيقية

وهي وزن التربة الجافة تماماً (g) إلى الحجم الطبيعي للتربة (cm³) وقد تم تقديرها باستخدام البكنومتر الموصوفة [4] وباستخدام المعادلة التالية:

$$D_R = \frac{m_s}{V_S}$$

 $(g.cm^{-3})$ الكثافة الحقيقية للتربة D_R

(g) وزن التربة الجافة تماماً M_S

 (cm^3) الحجم الطبيعي للتربة V_S

Total Porosity (PT) المسامية الكلية للتربة -3

تم تقدير النسبة المئوية للمسامية حسابياً بالاعتماد على قيم الكثافة الحقيقية والكثافة الظاهرية للتربة وباستخدام المعادلة التالية:

$$P_T = (1 - \frac{D_B}{D_R}) \times 100$$

(-) المسامية الكلية للتربة P_T

 $(g.cm^{-3})$ الكثافة الظاهرية للتربة D_B

 $(g.cm^{-3})$ الكثافة الحقيقية للتربة D_R

4-التوزع الحجمى للكتل الترابية (Size Distribution of Clods (SDC)

أخذت عينات تزن 4 KG بمعدل ثلاث عينات من كل مكرر من أجل تحديد التوزع الحجمي للكتل الترابية. جففت العينات تحت درجة حرارة الهواء ونخلت وصنفت في خمسة مجموعات (Chepil and Bisal, 1943) [12] حيث استمرت عملية هز العينات لمدة 30 sec بسرعة دورانية قدرها 540 rev/min.

استخدمت مناخل أقطارها 19, 8, 5, 2 mm ومن ثم حسبت النسبة المئوية لكل مجموعة من المجموعات الخمسة.

Mean Weight Diameter (MWD) متوسط القطر الموزون -5

حدد متوسط القطر الموزون لحبيبات التربة (MWD) كمؤشر لثباتية حبيبات التربة بفعل الماء باستخدام طريقة النخل الرطب [13] حيث استخدمت أربعة مناخل أقطارها 19, 8, 5, 2 mm وضع تقريباً و 50 من التربة على المنخل الأول من مجموعة المناخل وتم ترطيبها بهدوء ولطف لتجنب التكسر المفاجئ للحبيبات. تعرضت العينة بعد ترطيبها للاهتزاز بمعدل 30 rev/min. جففت التربة المتبقية على كل منخل بعد عشر دقائق من الاهتزاز ومن ثم تم فصل الرمل وحبيبات التربة المتبقية على على منخل بعد عشر دقائق من الاهتزاز ومن ثم تم فصل الرمل وحبيبات التربة المتبقية على كل منخل (Kemper and Rosenau, 1986) [14] وبعد ذلك حسب متوسط القطر الموزون لحبيبات التربة كما يلى:

$$MWD = \sum_{i=1}^{n} X_i \times W_i$$

(mm) متوسط القطر الموزون لحبيبات التربة الثابتة (mm) متوسط المنخل X_i قطر فتحات المنخل X_i

 W_{i} الوزن الجاف من التربة المتبقية على المنخل i منسوبة إلى الوزن الكلي للعينة الموضوعة على المنخل (%)

i يشير إلى رقم المنخل (-)

Aggregate stability (AS) % تباتية حبيبات التربة -6

تم اختبار ثبات حبيبات الترابية اعتماداً على إجراء [14] بعد الأخذ بعين الاعتبار النتائج التي تم الحصول عليها من عملية النخل الرطب [13] وذلك كما يلي: تم نخل العينات المختبرة من خلال منخل بقطر m 10 cm وبعد ذلك تم أخذ عينة من هذه التربة بوزن g 60 – 50 وتم وضعها على المنخل العلوي من شبكة المناخل وتم تغطيتها، غمرت المناخل في الأسطوانات التي تم ملؤها في الماء مسبقاً ثم غطيت الأسطوانات، اختبرت ثلاث عينات بنفس الوقت وذلك بحسب عدد الأسطوانات الموجودة على الجهاز.

تم إجراء اهتزاز للعينات المدروسة بمساعدة الجهاز المذكور في المستوي الشاقولي ضمن مجال تأرجح $(45 \times 290 \times 290)^{\circ}$ حيث تعرضت إلى 18 دورة (18 rev.) خلال 12 دقيقة (12 min) أي بمعدل ($(1.5 \text{ rev.min}^{-1})^{-1}$. فرغت الأسطوانات من الماء وجمعت التربة المتبقية على كل منخل بعد أن جففت تحت درجة حرارة $(4.5 \times 10^{-1})^{-1}$ من المعادلة $(4.5 \times 10^{-1})^{-1}$ من المعادلة التالية:

$$AS_i = \frac{W_i}{W_{tw}} \times 100$$

حيث إن:

AS_i النسبة المئوية لحبيبات التربة المتبقية على المناخل (%)

(g) i كتلة مجمعات التربة الجافة المتبقية على المنخل رقم $W_{\rm rai}$

(g) الكتلة الإجمالية للعينة المختبرة Wtw

النتائج والمناقشة:

Penetration Resistance (PR) مقاومة اختراق التربة

يبين الشكل (2) تأثير معدات الحراثة الثانوية المستخدمة على مقاومة اختراق التربة، حيث سجلت اخفض قيمة لمقاومة اختراق التربة (PR) عند العمق 0.10 – 2.5 cm حيث بلغت 0.11 Mpa عند استخدام (RTH) و (RTH) عند استخدام (STD+LC). مع ازدياد العمق ازدادت مقاومة اختراق التربة لتسجل أعلى قيم لها عند العمق 1.25 Mpa عند العمق 1.25 Mpa عند العمق مع دراسات عند العمق فيمة معاملة إن مقاومة اختراق التربة تتناسب طرداً مع زيادة عمق الحراثة [15]. ويبين الجدول (5) وجود فروق معنوية لمعدات الحراثة الثلاث المستخدمة في تأثيرها على مقاومة اختراق التربة حيث تقوقت المعاملات الثلاث مع معاملة الشاهد وكذلك تقوقت المعاملات معنوباً فيما بينها وكانت أفضل معاملة RTH.

Bulk density (D_B) الكثافة الظاهرية -2

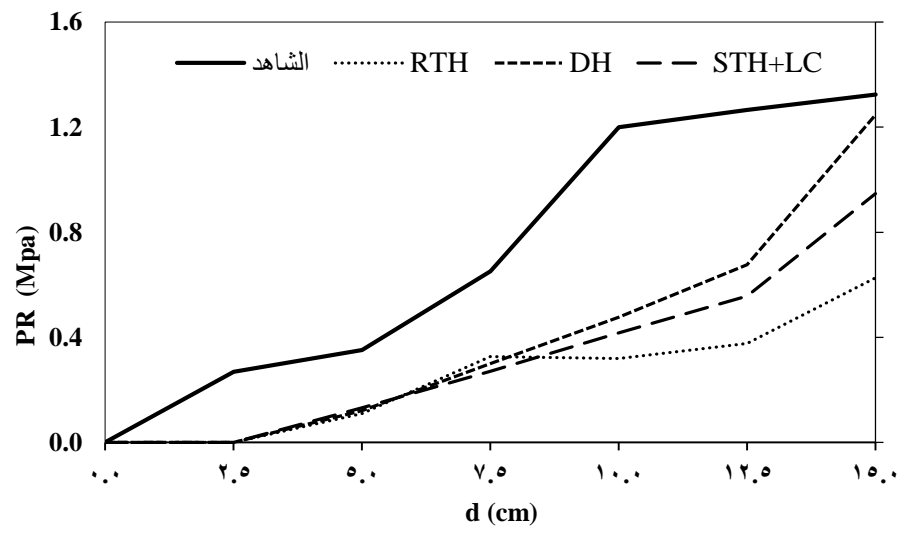
تم قياس الكثافة الظاهرية في الحقل على العمق 10 cm معد إجراء الحراثة الأولية بأخذ ثلاث عينات من كل قطعة تجريبية وحسبت القيمة الوسطية لها فكانت الكثافة الظاهرية 3.82 g.cm. وبنفس الطريقة تم حسباب القيمة الوسطية للكثافة الظاهرية بعد الحراثة الثانوية وسجلت النتائج في الجدول (6).

الجدول (5) يوضح مقاومة اختراق التربة (PR) مقدرةً بـ Mpa تحت تأثير معدات الحراثة الثلاث المستخدمة في البحث

العمق (سم)	الشاهد (قبل الحراثة)	معدات الحراثة			FPR	L.S.D 5%	C.V		
depth (cm)	BT	RTH	DH	STH+LC		2,0			
0 - 2.5	0.27	0.00	0.00	0.00	***	0.00617	9.4		
2.5 - 5.0	0.35	0.11	0.12	0.13	***	0.01224	7.1		
5.0 – 7.5	0.65	0.33	0.30	0.27	***	0.02436	6.5		
7.5 - 10.0	1.20	0.32	0.48	0.42	***	0.05723	9.8		
10.0 – 12.5	1.27	0.38	0.68	0.56	***	0.02886	4.1		
12.5 – 15.0	1.32	0.63	1.25	0.95	***	0.04688	4.7		

يشير الجدول (6) إلى أن الكثافة الظاهرية انخفضت نتيجة الحراثة الثانوية بنسب مئوية تراوحت بين % 4.63 – 2.44 حيث سجلت أعلى نسبة عند الحراثة

الثانوية باستخدام DH وأخفض نسبة عند الحراثة الثانوية باستخدام RTH مما يشير إلى أن الحراثة باستخدام RTH كانت أقل الطرق تأثيراً في خفض الكثافة الظاهرية. وبشكل عام وبالمقارنة مع الشاهد نلاحظ انخفاض واضح في الكثافة الظاهرية وهذه ظاهرة علمية أكدتها العديد من الأبحاث وفسرتها بالتخلخل الذي يحدث في التربة مما يؤدي إلى زيادة في الفرغات الحجمية بين مجمعات التربة الأمر الذي يؤدي إلى خفض الكثافة الظاهرية للتربة [16].



الشكل (2) يوضح مقاومة اختراق التربة PR قبل الحراثة (الشاهد) وبعد استخدام معدات الحراثة الثانوية الجدول (6) يوضح الكثافة الظاهرية (DB) والمسامية الكلية للتربة (PT) والنسبة المئوية لانخفاض (DB) وارتفاع (PT) نتيجة استخدام معدات الحراثة الثانوية

الزيادة في	(%) (P _T)	المسامية	الانخفاض في		الكثافة الظاه cm ⁻³)	معدات
المسامية (%)	المعدات	الشاهد	الكثافة (%)	المعدات	الشاهد	الحراثة
6.17	28.8	27.0	2.44	1.74	1.82	RTH
11.11	30.4	27.0	4.63	1.75	1.82	DH
9.93	30.0	27.0	4.08	1.78	1.82	STH+LC

Total Porosity (PT) المسامية الكلية للتربة -3

بما أن المسامية في التربة تعتمد بشكل مباشر على الكثافة الظاهرية، فقد عزرت الفراغات الحجمية الحاصلة في التربة والناجمة عن انخفاض الكثافة الظاهرية قيم المسامية الكلية للتربة كنتيجة لعملية الحراثة الجدول (6). هناك علاقة عكسية بين الكثافة الظاهرية والمسامية الكلية للتربة حيث تزداد المسامية في التربة كلما انخفضت الكثافة الظاهرية. سجلت أعلى نسبة لازدياد المسامية الكلية في التربة تحت طريقة الحراثة الظاهرية. باخت % 11.11 وأخفض قيمة عند الحراثة باستخدام RTH حيث بلغت % 6.17 وكانت % 9.93 في حالة STH+LC.

4- التوزع الحجمى للكتل الترابية Size distribution of clods (SDC)

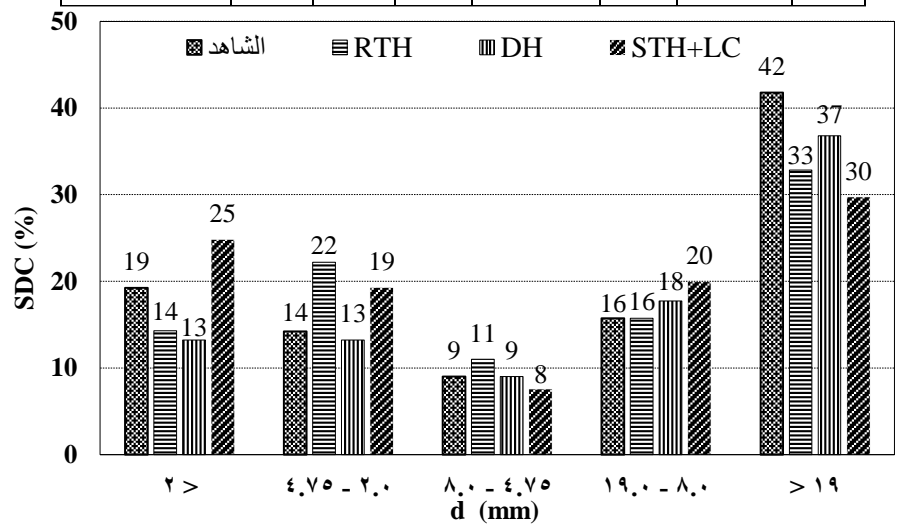
يبين الشكل (3) والجدول (7) توزع حجم حبيبات التربة الجافة. بعد الحراثة الثانوية تم الحصول على أكبر نسبة لأقطار حبيبات التربة أكبر من mm 19 في الحراثة باستخدام DH وبفروق معنوية عن باقي المعاملات حيث بلغت نسبتها % 37 وأخفض نسبة باستخدام STH+LC حيث بلغت نسبتها % 30. بالنسبة لحبيبات التربة التي أقطارها بين mm 19 - 8 وجدت أعلى نسبة لها في الحراثة باستخدام 19 mm التي أقطارها بين mm 20 وأخفض نسبة باستخدام RTH حيث بلغت نسبتها % 10 بينما حصل توزع عكسي بالنسبة لحجم حبيبات التربية ذات القطر بين mm 8 - 5 حيث وجدت أعلى نسبة لها في الحراثة باستخدام RTH حيث بلغت نسبتها % 11 وأخفض نسبة باستخدام STH+LC حيث بلغت نسبتها % 8 بينما وصل إلى % و وأخفض نسبة باستخدام DH أعلى نسبة عند الحراثة باستخدام RTH أعلى نسبة للتوزع الحجمي لأقطار الحبيبات بين mm 5-2 حيث وصلت إلى % 22 وأخفض نسبة عند الحراثة باستخدام DH حيث كانت % 13. بالنسبة لحبيبات التربة التي أقطارها أقل من 2 باستخدام DH حيث كانت % 13. بالنسبة لحبيبات التربة التي أقطارها أقل من 2 mm كانت أعلى نسبة لها في الحراثة STH+LC % 25 وأخفض قيمة عند الحراثة باستخدام DH حيث كانت % 13. بالنسبة لحبيبات التربة التي أقطارها أقل من 2 mm كانت أعلى نسبة لها في الحراثة STH+LC % 25 وأخفض قيمة عند الحراثة باستخدام DH % 13.

لحبيبات التربة	الحجمي	للتوزع	المئوية	النسبة	(7)	الجدول
----------------	--------	--------	---------	--------	-----	--------

	• •••	<u> </u>	<u> </u>	 ()	•		
(mm)	الشاهد		(%)	FPR		C.V	l

العدد 115 العام 2015	سلسلة العلوم الزراعية	مجلة بحوث جامعة حلب
----------------------	-----------------------	---------------------

أقطار الحبيبات	ВТ	RTH	DH	STH+LC		L.S.D 5%	
< 2	19	14	13	25	***	0.22980	1.3
2 - 5	14	22	13	19	***	0.38480	2.3
5 -8	9	11	9	8	***	0.43910	4.9
8 - 19	16	16	18	20	***	0.34220	2
19 <	42	33	37	30	***	0.31610	0.9



الشكل (3) يوضح التوزع الحجمي لحبيبات التربة (%) (SDC) عند الأقطار المختلفة (mm) للشاهد ويعد باستخدام معدات الحراثة الثانوية

إن حجم أقطار حبيبات التربة المقبولة والمطلوبة للحصول على مرقد جيد للبذور تتراوح بين mm 5-1 [18,17]. إلا أن هذا الحجم من الحبيبات يمكن أن يؤدي إلى تعرية التربة [6]، وفيما لو اعتمد هذا الحجم لحبيبات التربة المطلوبة لتأمين مرقد جيد للبذور كأساس لتقييم قدرة معدات الحراثة المستخدمة على تأمين حبيبات التربة المرغوبة والمناسبة لإنتاش البذور ونمو الشيتول فإنه وبالاعتماد على الجدول (7) يتضح أن أعلى نسبة لهذه الحبيبات تم التوصل إليها في الحراثة باستخدام STH+LC

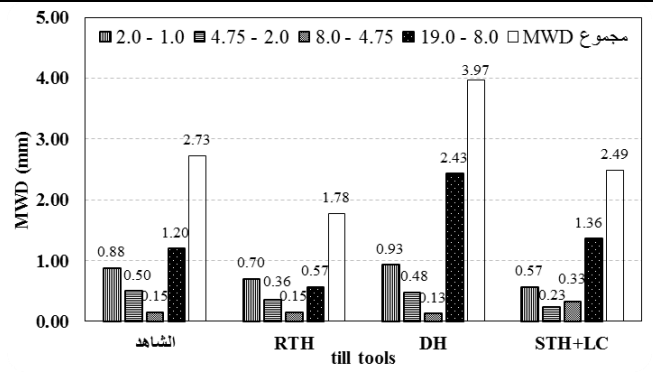
Mean weight diameter (MWD) متوسط القطر الموزون -5

يستخدم متوسط القطر الموزون لحبيبات التربة كوسيلة لشرح مدى ثباتية حبيبات التربة تحت تأثير الماء عليها. يبين الجدول (8) والشكل (4) توزع حجم حبيبات التربة الجافة قبل وبعد الحراثة الثانوية.

تم حساب قيم متوسط القطر الموزون لحبيبات التربة (MWD) بعد الحراثة الأولية وقبل الحراثة الثانوية (الشاهد) حيث كان mm 2.73 بعد الحراثة الثانوية تم حساب قيم متوسط القطر الموزون لحبيبات التربة وتبين أن (MWD) لـــ DH بلغت أعلى قيمة mm 3.97 mm وبفروق معنوية عن بقية المعاملات وأخفض قيمة استخدام 1.78 mm RTH ولم تتأثر كثيراً قيمة (MWD) باستخدام 2.49 mm

الجدول (8) متوسط القطر الموزون لحبيبات التربة (MWD) قبل الحراثة (BT) وبعد استخدام معدات الحراثة الثانوية

توزع حجم الحبيبات (mm)	ВТ	RTH	DH	STH+LC	FPR	L.S.D 5%	C.V
0 - 2	0.88	0.70	0.93	0.57	***	0.0278	3.7
2 - 5	0.50	0.36	0.48	0.23	***	0 209	5.5
5 -8	0.15	0.15	0.13	0.33	***	0.0157	8.5
8 - 19	1.20	0.57	2.43	1.36	***	0.1296	9.6
مجموع MWD	2.73	1.78	3.97	2.49	***	0.028	3.7



الشكل (4) يوضح قيم متوسط القطر الموزون لحبيبات التربة (MWD) للشاهد وبعد استخدام معدات الحراثة الثانوية (till tools)

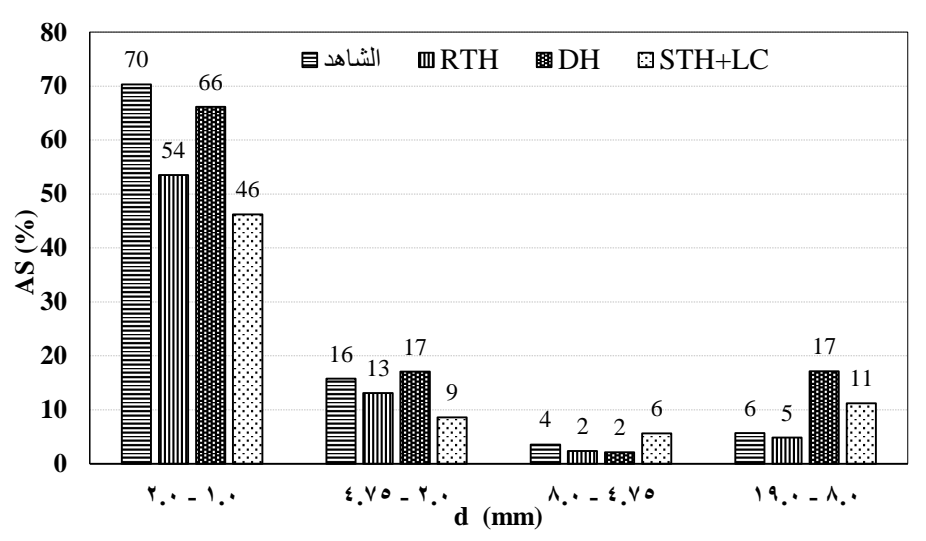
Aggregate stability (AS) % تباتية حبيبات التربة -6

تم حساب النسبة المئوية لثباتية حبيبات التربة (AS) بعد الحراثة الأولية وقبل الحراثة الثانوية الجدول (9) والشكل (5). وقد أظهرت النتائج في الجدول (9) وجود فروق معنوية بين المعاملات.

الجدول (9) يوضح تأثير معدات الحراثة الثانوية المستخدمة على ثباتية حبيبات التربة (AS) %

(mm)	(%)				EDD	L.S.D	CV
توزع حجم الحبيبات	BT	RTH	DH	STH+LC	FPR	5%	C.V
0.0 - 2.0	70	54	66	46	***	1.872	3.3
2.0 - 5.0	16	13	17	9	***	1.814	15.1
5.0 - 8.0	4	2	2	6	***	0.267	8.1
8.0 - 19.0	6	5	17	11	***	0.956	10.1

إن أعلى نسبة مئوية لثباتية حبيبات التربة كانت عند الحبيبات ذات الأقطار بين mm بين mm بين 0.0 حيث كانت نسبتها بعد الحراثة الأولية % 70 وبعد الحراثة الثانوية كانت أعلى نسبة لثباتية حبيبات التربة عند هذا القطر باستخدام 66 % DH % 66 كانت أعلى نسبة لثباتية حبيبات التربة عند هذا القطر باستخدام 46 % الأمر نفسه تم بالنسبة وأخفض نسبة عند الحراثة باستخدام 2.0 حيث كانت أعلى نسبة لـ AS عند الحراثة باستخدام DH % 71 وأخفض نسبة عند الحراثة باستخدام DH % 71 وأخفض نسبة لحبيبات التربة التي أقطارها بين mm كانت أعلى نسبة لـ AS عند الحراثة باستخدام DH % STH+LC كانت أعلى نسبة لـ AS عند الحراثة باستخدام DH كانت % 2. سجلت طريقة الحراثة الكل أعلى نسبة لـ AS كانت % 17 تلتها لزيادة ثباتية حبيبات التربة ذات القطر بين mm ا 10 حيث كانت % 17 تلتها الحراثة باستخدام ATH حيث بلغت % 5.



الشكل (5) يوضح النسبة المئوية لثباتية حبيبات التربة % AS للشاهد وبعد باستخدام معدات الحراثة الشكل (5) الثانوية عند الأقطار المختلفة (mm)

الاستنتاجات

اعتماداً على النتائج التي تم الحصول إليها في البحث يمكن استنتاج ما يلي: D_B على النتائج التي تم المستخدمة في خفض الكثافة الظاهرية D_B وزيادة المسامية الكلية للتربة D_B حيث انخفضت D_B % D_B و % D_B عند المسامية الكلية للتربة D_B حيث انخفضت D_B % D_B و % D_B و % D_B عند الستخدام (RTH) و (STH+LC) و (DH) على التوالي وازدادت D_B % D_B و % D_B على التوالي و % D_B عند الستخدام (RTH) و (DH) على التوالي و % D_B و % D_B عند الستخدام (RTH) و (DH) على التوالي.

- 2- ساهم استخدام معدة الحراثة (DH) في زيادة مجموع متوسط الأقطار الموزونة (MWD) من 2.73 في أثناء الحراثة إلى 3.97 بعد الحراثة الثانوية.
- و. ســـاهمت معدات الحراثة الثانوية في زيادة نســـبة حبيبات التربة (SDC) التي أقطارها بين mm 5 ـ 1 بنســـبة % 44 و % 36 و % 26 بحالة (STH+LC)
 و. (RTH) و (DH) على التوالي. أي أن (STH+LC) ســجل أفضــل زيادة لثباتية حبيبات التربة.

التوصيات

اعتماداً على النتائج التي تم التوصل إليها في البحث فإننا نوصي الحراثة باستخدام الأمشاط القرصية (DH) في الأراضي التي يمكن أن تتعرض لخطورة التعربة بفعل الماء.

المراجع

- 1- بربارة، سهيل. 1995. الآلات الزراعيّة. منشورات جامعة حلب، كلية الزراعة، حلب، سوريا.
- 2- كردي، زياد؛ حسون الصالح يحيى؛ النتبي، محمد نور الدين. 2009. الآلات الزراعية. منشورات جامعة حلب، كلية الزراعة، حلب، سوريا.
- 3- عبود، زياد. 2012. أساسيات الآلات الزراعية. منشورات جامعة حلب، كلية الزراعة، إدلب، سوريا.
- 4- عبد الرزاق، عمر؛ الجابر، عايد. 1998. علم التربة (1) (القسم العملي). منشورات جامعة حلب، كلية الزراعة الثانية بدير الزور، دير الزور، سوريا.
- 5- BOSSUYT H. K. DENEF J. SIX S.D. FREY R. MERCKX K. PAUSTIAN 2001. Influence of microbial populations and residue quality on aggregate stability. Applied Soil Ecology 16 195-208.
- 6- REICHERT M.J., L.D. NORTON, N. FAVARETTO, 2001. Seetling velocity of soil aggregates, aggregate stability, and interrill erodibility of ten caly soils. Soil Erosion Research for the 21 st Century, Proc.Int.Conf., 5-5 January 2001, Honolulu Hawaii, USA, pp. 529-532.
- 7- RANEY W.A., A.W. ZINGG, 1957. Principles of tillage. The Yearbook of Agriculture, USA, Washington, DC
- 8- FRANCIS P.B., R.M. CRUSE, 1983. Soil water metric potential effects on aggregate stability. Soil Sci.Soc.Am.J. 47,578-581.

- 9- ADAM K.M., D.C. ERBACH, 1992. Secondary tillage tool effect on soil aggregation.
- 10-EIJKELKAMP. 06.01.SA Hand penetrometer Eijkelkamp set to a depth of 1 meter. (htPT://www.eijkelkamp.com)
- 11-USDA. UNITED STATES.; 1999 AGRICULTURAL RESEARCH SERVICE. Soil quality institute. Soil quality test kit guide.
- 12-CHEPIL W.S.·F. BISAL·1943. A rotary sieve methods for determining the size distribution of soil clods. Soil Sci. 56·95-100.
- 13- KEMPER W.D., R.C. ROSENAU, 1986. Aggregate stability and size distribution. Methods of Soil Analysis Part 1, Physical and Mineralogical Methods Second Edition. In: Klute A.(ed.): American Society of Agronomy, Inc., Soil Science Society of America Inc., Wisconsin USA, Publisher, Madison, pp. 425-442.
- 14-GEE G.W., J.W. BAUDER, 1986. Particle size analysis., Methods of Soil Analysis Part 1, Physical and Mineralogical Methods Second Edition. In: Klute A.(ed.): American Society of Agronomy, Inc., Soil Science Society of America Inc., Wisconsin USA, Publisher, Madison, pp. 383-411.
- 15- Paul W. U, Ordie R. J. 1998. Long-term tillage and cropping systems affect bulk density and penetration resistance of soil cropped to dryland wheat and grain sorghum. Soil Till. Res., 45:39-57, 1988.
- 16-Paul W. U, Ordie R. J. 1998. Long-term tillage and cropping systems affect bulk density and penetration resistance of soil cropped to dryland wheat and grain sorghum. Soil Till. Res., 45:39-57, 1988.
- 17- ADAM K.M., D.C. ERBACH, 1992. Secondary tillage tool effect on soil aggregation.
- 18-RUSSEL E.W. 1961. Soil conditions and plant growth. London Longmans Green and Company.